



UFM
UNIVERSIDAD
FRANCISCO
MARROQUÍN

VERITAS • LIBERTAS • JUSTITIA

FACULTAD de
CIENCIAS ECONÓMICAS

ANÁLISIS DE COMPONENTES PRINCIPALES II

ALAN REYES-FIGUEROA

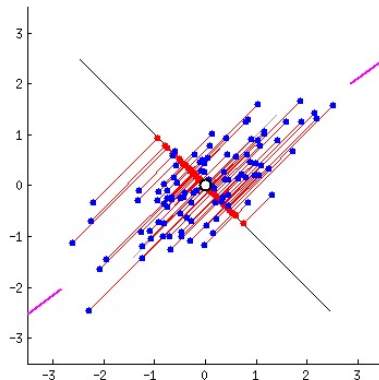
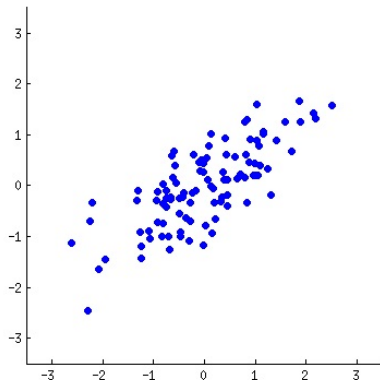
ELEMENTS OF MACHINE LEARNING

(AULA 07) 07.FEBRERO.2023

Componentes principales

Objetivo: encontrar una estructura subyacente en los datos.

- Proyectar a un subespacio adecuado.



Componentes principales

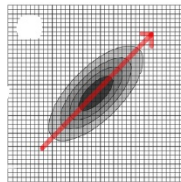
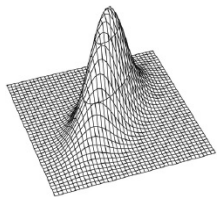
Caso particular 1D: (proyectamos a un subespacio 1-dimensional).

Suponga que proyectamos a un subespacio $\langle l \rangle \Rightarrow \langle l, X \rangle = l^T X$.

Buscamos maximizar

$$\max_{\|l\|=1} \text{Var}(l^T X) = \max_{l \neq 0} \frac{\text{Var}(l^T X)}{l^T l} = \max_{l \neq 0} \frac{l^T \text{Var}(X) l}{l^T l} = \max_{l \neq 0} \frac{l^T (\mathbb{X}^T \mathbb{X}) l}{l^T l}.$$

(cociente de Rayleigh).



Teorema (Descomposición en valores singulares (SVD))

Sea $A \in \mathbb{R}^{n \times d}$ una matriz de rango k . Para todo $1 \leq r \leq k$, existen matrices $U \in \mathbb{R}^{n \times r}$, $S \in \mathbb{R}^{r \times r}$, $V \in \mathbb{R}^{d \times r}$, tales que

$$A = USV^T = \sum_{i=1}^r \sigma_i \mathbf{u}_i \mathbf{v}_i^T,$$

con

- las columnas $\mathbf{u}_1, \dots, \mathbf{u}_r \in \mathbb{R}^n$ de U son los autovectores de AA^T ,
- las columnas $\mathbf{v}_1, \dots, \mathbf{v}_r \in \mathbb{R}^d$ de V son los autovectores de $A^T A$, $S = \text{diag}(\sigma_1, \dots, \sigma_r)$, $\sigma_i^2 = \lambda_i$, con λ_i los autovectores de \mathbf{u}_i y de \mathbf{v}_i ,
- Además, $\sigma_i \mathbf{u}_i = A \mathbf{v}_i$ y $\sigma_i \mathbf{v}_i = A^T \mathbf{u}_i$, para $i = 1, 2, \dots, r$.

Descomposición SVD

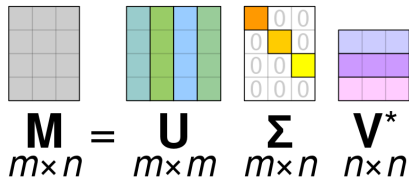
El teorema de descomposición espectral ocurre como un caso particular de la descomposición SVD:

Caso especial: A simétrica

$$A = USU^T = U\Lambda U^T = \sum_{i=1}^r \sigma_i \mathbf{u}_i \mathbf{u}_i^T.$$

En este caso los autovectores de A y $A^T A = A^2 = AA^T$ coinciden, y los autovalores de A al cuadrado son los autovalores de $A^T A$.

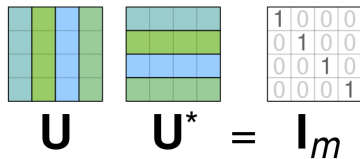
Direcciones Principales



The diagram illustrates the Singular Value Decomposition (SVD) of a matrix M . It shows the decomposition $M = U \Sigma V^*$ with corresponding grid representations for each matrix. M is a 4x4 grid. U is a 4x4 grid with columns colored green, blue, and green. Σ is a 4x4 grid with diagonal elements colored orange, yellow, and yellow, and zeros elsewhere. V^* is a 4x4 grid with rows colored purple, purple, and pink.

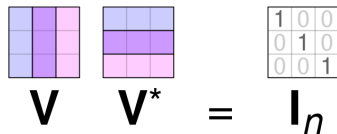
$$\mathbf{M} = \mathbf{U} \mathbf{\Sigma} \mathbf{V}^*$$

$m \times n$ $m \times m$ $m \times n$ $n \times n$



This diagram shows the orthogonality of the matrices U and U^* . U is a 4x4 grid with columns colored green, blue, and green. U^* is a 4x4 grid with rows colored green, blue, and green. The product $U U^*$ is shown as a 4x4 identity matrix I_m with diagonal elements 1 and zeros elsewhere.

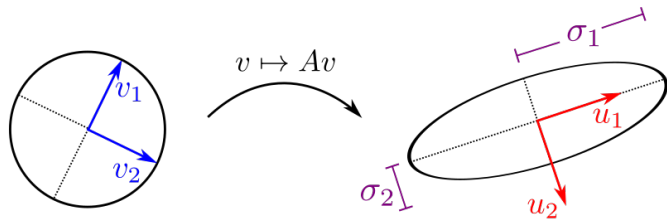
$$\mathbf{U} \mathbf{U}^* = \mathbf{I}_m$$



This diagram shows the orthogonality of the matrices V and V^* . V is a 4x4 grid with columns colored purple, purple, and pink. V^* is a 4x4 grid with rows colored purple, purple, and pink. The product $V V^*$ is shown as a 4x4 identity matrix I_n with diagonal elements 1 and zeros elsewhere.

$$\mathbf{V} \mathbf{V}^* = \mathbf{I}_n$$

Direcciones Principales



$$A = \begin{bmatrix} | & | & \dots & | \\ u_1 & u_2 & \dots & u_n \\ | & | & \dots & | \end{bmatrix} \begin{bmatrix} \sigma_1 & & & \\ & \sigma_2 & & \\ & & \ddots & \\ & & & \sigma_n \end{bmatrix} \begin{bmatrix} - & v_1^T & - \\ - & v_2^T & - \\ & \vdots & \\ - & v_n^T & - \end{bmatrix}$$

Direcciones Principales

En general, si queremos proyectar los datos \mathbb{X} en \mathbb{R}^d a un subespacio de dimensión r , $0 < r < d$, debemos encontrar las primeras r direcciones principales.

Estas direcciones pueden encontrarse de dos formas:

- las direcciones principales \mathbf{v}_i son los autovectores asociados a los primeros r autovectores de $\text{Cov}(\mathbb{X})$.
- también pueden calcularse como los primeros r vectores, asociados a los r mayores valores singulares de \mathbb{X} .

Teorema (Eckart-Young)

Sea $A \in \mathbb{R}^{n \times d}$, $n \geq d$, una matriz cuya descomposición SVD está dada por

$$A = USV^T = \sum_{i=1}^d \sigma_i \mathbf{u}_i \mathbf{v}_i^T.$$

Entonces, la matriz \hat{A}_r de rango r , $1 \leq r \leq d$, que mejor aproxima A en el sentido de minimizar

$$\min_{\text{rank } \hat{A}_r \leq r} \|A - \hat{A}_r\|_F^2$$

se obtiene de truncar la descomposición en valores singulares de A :

$$\hat{A}_r = U_r S_r V_r^T = \sum_{i=1}^r \sigma_i \mathbf{u}_i \mathbf{v}_i^T,$$

Teorema (Eckart-Young)

donde

$$U_r = [\mathbf{u}_1 \ \mathbf{u}_2 \ \dots \ \mathbf{u}_r], \quad S_r = \text{diag}(\sigma_1, \sigma_2, \dots, \sigma_r), \quad V_r = [\mathbf{v}_1 \ \mathbf{v}_2 \ \dots \ \mathbf{v}_r].$$

En ese caso, el error de aproximación está dado por

$$\|A - \hat{A}_r\|_F^2 = \sum_{i=r+1}^d \lambda_i,$$

o

$$\|A - \hat{A}_r\|_2 = \lambda_{r+1}.$$

Aproximaciones de bajo rango

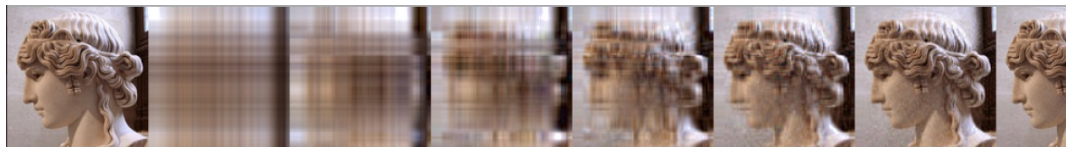
Obs!

- Las direcciones \mathbf{u}_i se llaman las **componentes principales** de \mathbb{X} .
- La descomposición SVD proporciona un mecanismo para proyectar los datos al “mejor” subespacio de dimensión $r \leq d$. Dicha proyección se obtiene haciendo

$$\mathbb{X}_{proj} = \mathbb{X} V_r^T.$$

- Los autovalores λ_i de $\mathbb{X}^T \mathbb{X}$ nos proporcionan un mecanismo para medir el error, vía $\|A - \hat{A}_r\|_F^2 = \sum_{i=r+1}^d \lambda_i$.
- El cociente $\frac{\sum_{i=1}^r \lambda_i}{\sum_{i=1}^d \lambda_i}$, $r = 1, 2, \dots, d$, se interpreta como el porcentaje de variabilidad de los datos \mathbb{X} que es explicada por las primeras r componentes principales.

Compresión de imágenes usando PCA.

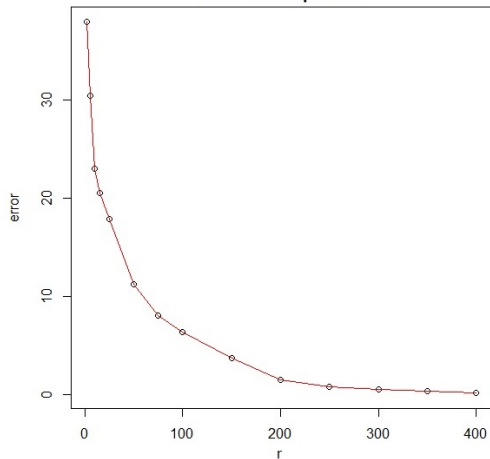


Original $r = 1$ $r = 2$ $r = 4$ $r = 8$ $r = 16$ $r = 32$ $r = 64$

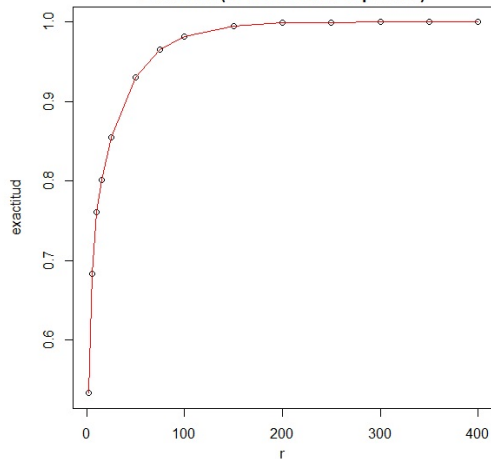
Imagen Original (256×256), aproximaciones con rango = 1, 2, 4, 8, 16, 32, 64.

Ejemplos

Error de compresión

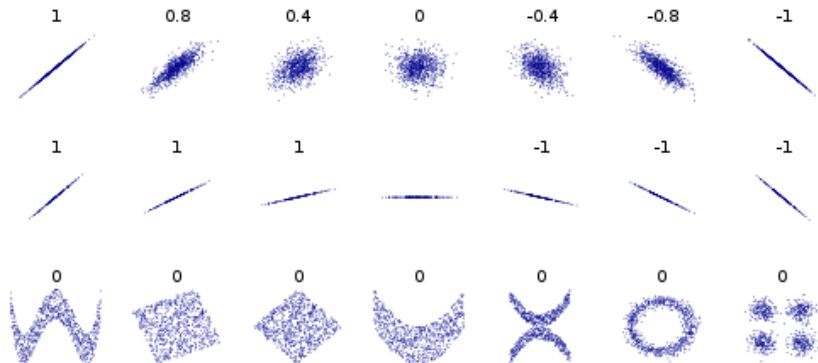


Exactitud (% variabilidad explicada)

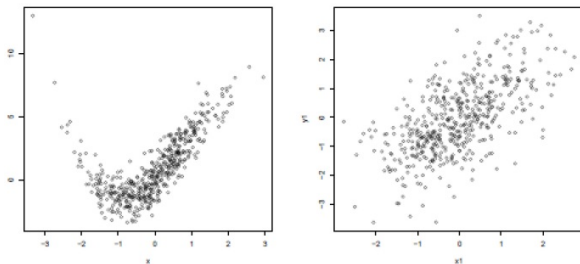


Ejemplos

En PCA la estructura de los datos se capta solamente a través de las matrices $Cov(X)$ o $Corr(X)$.



Ejemplos



Dos veces misma correlación. =(

Obs.

- Cuidado con desviaciones fuertes de normalidad.
- Lo ideal es investigar la normalidad de los datos en la práctica, al menos ver si escala es continua, distribución unimodal, simétrica, nubes parecidas a elipses, ...

Contraejemplos

